

セル型構造物の安定性に関する基礎的研究

京都大学工学部 正員 長尾義三
 京都大学工学部 正員 後藤尚男
 京都大学工学部 正員 土岐慶三
 京都大学工学部 学生員 黒田勝彦

1. まえがき

近年、港湾構造物においてセル構造が採用されるようになつた。しかるに、これらの構造物に作用する静的土圧、支持力、地震時の動水圧、動土圧等については研究が充分進められていない。本研究においては、これらの不明点のうち、動水圧および動土圧に関する基礎的な研究を行なつた。

2. 動水圧の理論解

図-1 のような円柱座標 (r, θ, z) において動水圧のはつきの波动方程式を表す式である。

$$\frac{\partial^2 \sigma}{\partial r^2} + \frac{1}{r} \frac{\partial \sigma}{\partial r} + \frac{1}{r^2} \frac{\partial^2 \sigma}{\partial \theta^2} + \frac{\partial^2 \sigma}{\partial z^2} = \frac{1}{c^2} \frac{\partial^2 \sigma}{\partial t^2} \quad \cdots \cdots (1)$$

ここで c : 水中音速で、 $c = \sqrt{g/k}$ とし、 k : 水の体積弾性率、 ρ : 水の単位体積重量、 g : 重力加速度。ここで図-1 に示したごとく円筒内部における動水圧について考えると、境界条件は次式で与えられる。

$$\left. \begin{aligned} \left(\frac{\partial \sigma}{\partial r} \right)_{z=0} &= 0, & \left(\sigma \right)_{z=R} &= 0 \\ \left(\frac{1}{r} \frac{\partial \sigma}{\partial r} \right)_{p=0} &= 0, & \left(\frac{1}{r} \frac{\partial \sigma}{\partial r} \right)_{p=\infty} &= 0 \\ \left(\frac{\partial \sigma}{\partial r} \right)_{r=r_0} &= k_0 g f(t) \cos \theta \end{aligned} \right\} \quad \cdots \cdots (2)$$

また円筒下端が $f(t) = e_0 \omega^2 e^{i\omega t}$ なる單弦振動をするものとすれば式(1), (2)より定常解として次式のごとく求まる。

$$\sigma = \text{先端} \left[\sum_{m=1}^{\infty} \cos m\theta \frac{(-1)^{m+1}/2m-1}{J_0(\lambda_m r_e) - J_1(\lambda_m r_e)/\lambda_m r_e} \frac{J_0(\lambda_m t)}{\lambda_m} + \sum_{m=0}^{\infty} \cos m\theta \frac{(-1)^{m+1}/2m-1}{J_1(\lambda_m r_e) - I_1(\lambda_m r_e)/\lambda_m r_e} \frac{I_1(\lambda_m t)}{\lambda_m} \right] e_0 \omega^2 e^{i\omega t} \quad \cdots \cdots (3)$$

ここに J_0 および J_1 は、それぞれ、0 次および 1 次のヤッセル関数、 I_0 および I_1 は 0 次および 1 次の変形ヤッセル関数。

3. 動水圧の算定式

式(3)の固有値についての検討によれば、地動の周期が大きくなり、また水深が小さいほど水の圧縮性の影響が小さくなり、ある限界値以下に対しても式(3)のオーネンは消失する。かかる場合について動水圧の最大値 σ_{max} に注目すると、式(3)のオーネンのみをとって、 $e^{i\omega t} \cos \theta = 1$ とおけばよいので、結局

$$\sigma_{max} = \sigma_{r=r_e, max} = e_0 \omega^2 \frac{k_0}{q} \cdot r_e f\left(\frac{r_e}{R}, \frac{\pi}{2}\right) \quad \left. \begin{aligned} f\left(\frac{r_e}{R}, \frac{\pi}{2}\right) &= \text{先端} \sum_{m=1}^{\infty} \frac{(-1)^{m+1}/2m-1}{\{J_0(\lambda_m r_e) - I_1(\lambda_m r_e)\}/\lambda_m r_e} \frac{I_1(\lambda_m t)}{\lambda_m} \cos \lambda_m \theta \end{aligned} \right\} \quad \cdots \cdots (4)$$

ただし $f\left(\frac{r_e}{R}, \frac{\pi}{2}\right) = \text{先端} \sum_{m=1}^{\infty} \frac{(-1)^{m+1}/2m-1}{\{J_0(\lambda_m r_e) - I_1(\lambda_m r_e)\}/\lambda_m r_e} \frac{I_1(\lambda_m t)}{\lambda_m} \cos \lambda_m \theta$

$$P_x = \int_0^{2\pi} \sigma_{r=r_e, max} r_e \cos \theta d\theta = e_0 \omega^2 \frac{k_0}{q} \pi r_e^2 f\left(\frac{r_e}{R}, \frac{\pi}{2}\right) \quad \cdots \cdots (5)$$

上式はまだ次式のように書ける。

$$P_x = e_0 \omega^2 M_1(z), \quad \text{ただし } M_1(z) = \frac{1}{q} \pi r_e^2 f\left(\frac{r_e}{R}, \frac{\pi}{2}\right) \quad \cdots \cdots (6)$$

すなわち、質量分布 $M_1(z)$ なら物体が空気中ににおいて $e_0 \omega^2$ なる一様加速度で運動して u_3

ときに物体の単位長さ当たりに働く力と等価であり、結局 $M_1(z)$ は円筒内部の単位長さ当たりの仮想質量分布と考えてよい。ここで $\frac{M}{L}$ を横軸にとり $z=0$ における $f\left(\frac{M}{L}, \frac{z}{L}\right) = M_1(0)/L$ が (ただし $f = f_{\text{横}}^{\text{上}}$) を算出して図示したのが図2である。これより $\frac{M}{L} > 0.5$ では慣用的な仮想質量の値より本研究で得た値の方がかなり小さいことがわかる。

4. 圆筒外面に作用する動水圧

円筒の外面に作用する動水圧については、すでに後藤・立岐¹⁾によつて取り扱はれてゐるが、それより円柱の撓みと水の圧縮性を考える場合を引用すると、円筒外面の単位高さ当たりに働く全動水圧 P は次式で表わされる。

$$P_x^k = - \sum_{m=1}^{\infty} \frac{4\epsilon_m \omega_m^2 K_0(4\epsilon_m)}{g\Delta_m} \frac{(-1)^{m+1}}{\Delta_m} \frac{K_1(\lambda_m \tau_k)}{K_0(\lambda_m \tau_k) + K_1(\lambda_m \tau_k)} \cos \lambda_m z \cdot i e^{i \omega_m t} \quad \dots \quad (7)$$

式(6)と同様に書くと

$$\left. \begin{aligned} P_x' &= -M_2(z) \frac{\partial^2}{\partial z^2} = -g \left(\frac{r_e}{R}, \frac{x}{R} \right) \cdot \frac{\partial^2}{\partial z^2} (-e_0 i e^{i\omega t}) \\ M_2(z) &= \frac{IKr_e}{g} \sum_{n=1}^{\infty} \frac{z^n}{(\lambda_m n)^2} \frac{4}{\lambda_m n} \frac{K_1(\lambda_m n)}{K_0(\lambda_m n) + K_2(\lambda_m n)} \cos \lambda_m z = g \left(\frac{r_e}{R}, \frac{x}{R} \right) \end{aligned} \right\} \quad \text{--- (8)}$$

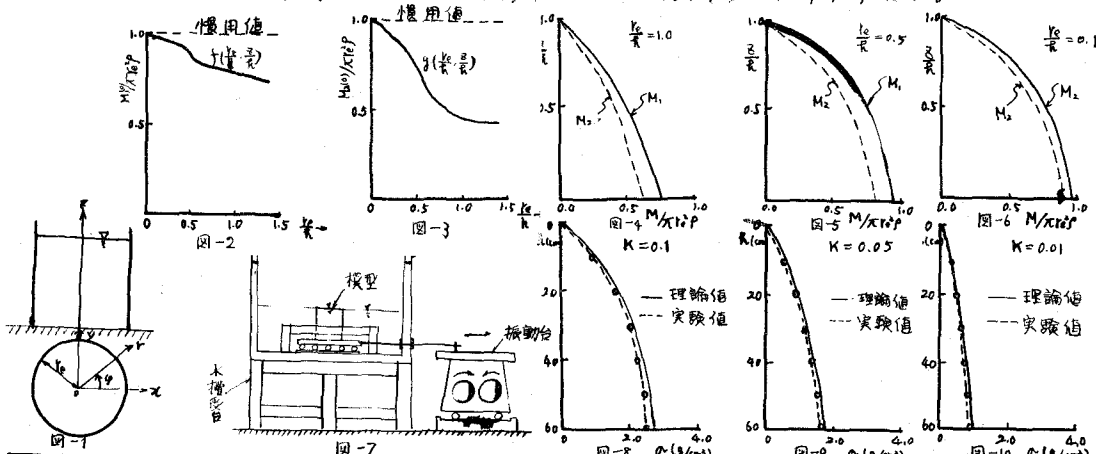
上式の $M_2(z)$ はこの場合の水の仮想質量に相当するもので、 $z=0$ における $M_2(z)/kgf$ を γ_{sp} に対して図示したものが図-3 である。これより慣用されていきる仮想質量は過大であることが認められる。また M_1 と M_2 を比較するためには γ をペラメーターにとり、横軸に M_1/kgf , M_2/kgf をとて数値計算した結果が図-4～図-6 である。これより円筒内側の仮想質量の方が大きいことが認められる。

5. 模型実験による筒内部に作用する動水圧の測定

図-7のようき装置で円筒内面に働く動水圧を圧力計により測定し、これらの結果と理論値とを比較したのが図-8～図-10である。これより理論値と実験値がかなりよく対応していることが知れ矣。

6. 飽和砂に対する円筒内面に働く振動応

円筒内部を飽和砂(標準砂)で満たし定常振動を与えたときの深さ方向、円周方向の応力分布形状を調べる実験を行なったが結果については講演時にゆづりたい。



¹⁾ 後藤尚男「土壤三：水中橋脚の運動と耐震設計に関する基礎的研究」、土木学会論文集、第39号 pp.1~9、昭和38.12.

著者名：京都大学工学部記載，才22巻1号，pp.12～30，1965.3